

九州大学 工学部 正 廉 後藤虎之輔
九州大学 工学部 学生会 ○梅本明宏

上序 有孔ばかりにおいて孔縁に応力集中が起りはりか弱くなることは周知のことである。これを避け第一方法として孔縁をリングで補強することが考えられるが、ここで問題となるのは程度に補強を行なえば応力集中を避けうるかということである。この孔縁の補強効果は、内孔を有する無限板について多くの研究者により解明されているが、内孔を有する単純ばかりや半持ばかりと半径形の補強孔を持つこれら種々のとりどりについてはほとんど解かれていらない。本論では補強内孔を持つ単純ばかりおよび半持ばかりと種々の荷重が作用する場合の弾性応力を複素変数法により解析し、応力集中に対する孔縁の補強効果を明かにせんとするものである。

2. 応力函数の導導および応力の算定

A. 等分布荷重を満載する単純ばかり

(1) 応力函数の一一般式 応力函数を重 $\Psi_0(z)$ 、重 $\Psi_1(z)$ とすれば、これははりたるばかりにゲートに対してそれを次のとく假定される。

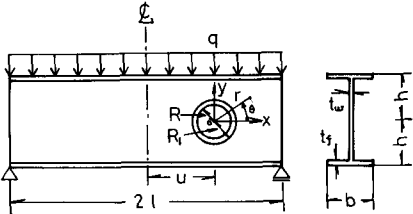


図-1

$$\text{リード対} \quad \Psi_0(z) = \text{重}(z) + \text{重}(z) = \sum_{k=0}^{\infty} A_k z^{k+1}, \quad \Psi_1(z) = \text{重}(z) + \text{重}(z) = \sum_{k=0}^{\infty} B_k z^{k+1}$$

$$\text{リゲート対} \quad \Psi_0(z) = \text{重}(z) = \sum_{k=0}^{\infty} C_k z^{k+1}, \quad \text{重}(z) = \text{重}(z) = \sum_{k=0}^{\infty} D_k z^{k+1}$$

ここで $z = x + iy = r e^{i\theta}$, (x, y) : 孔中心を原点とする直角座標, (r, θ) : 極座標で、サフィックス“0”的系数は孔のないときの応力函数、サフィックス“1”的系数は孔の存在による付加応力函数である。孔のないときの応力函数は既知の応力状態より求められ、付加応力函数は孔縁の境界条件式およびはりとりとくとの結合部における連続条件式より決定される。

(2) 孔のないときの応力函数の決定 図-1ト算すごとく荷重場を考えれば、孔のないときのはりの腹部の応力は次式で与えられる。

$$\sigma_x = -\frac{q}{2l} \left[\left\{ \beta - (x+u)^2 \right\} u^2 + \frac{2}{3} u^3 - \frac{2}{3} C^{*2} u \right], \quad (2)$$

$$\sigma_y = \frac{q}{2l} \left(\frac{1}{3} u^3 - C^{*2} u - \frac{2}{3} C^{*4} \right), \quad \tau_{xy} = \frac{q}{2l} (C^{*2} - u^2)(x+u)$$

ここで $l: 1/2スパン$, $u: もとの孔を持たない工型ばかりの中立軸から断面Z次モーメントで、 $C^{*2} = u^2 (1 + \frac{2l^4}{t^3})$$ は次式で与えられる換算荷重である。

$$C^{*2} = u^2 (1 + \frac{2l^4}{t^3})$$

したがふ、直角座標における応力成分 σ_x , σ_y および τ_{xy} は次式で $\sigma_x = -\frac{q}{2l} \left[\left\{ \beta - (x+u)^2 \right\} u^2 + \frac{2}{3} u^3 - \frac{2}{3} C^{*2} u \right]$, $\sigma_y = \frac{q}{2l} \left(\frac{1}{3} u^3 - C^{*2} u - \frac{2}{3} C^{*4} \right)$, $\tau_{xy} = \frac{q}{2l} (C^{*2} - u^2)(x+u)$ である。孔のないときの応力函数は $\sigma_x = -\frac{q}{2l} \left[\left\{ \beta - (x+u)^2 \right\} u^2 + \frac{2}{3} u^3 - \frac{2}{3} C^{*2} u \right]$, $\sigma_y = \frac{q}{2l} \left(\frac{1}{3} u^3 - C^{*2} u - \frac{2}{3} C^{*4} \right)$ である。

$$\sigma_x + \sigma_y = Z[\text{重}(z) + \text{重}(z)], \quad \sigma_y - \sigma_x + 2i\tau_{xy} = Z[\text{重}\text{重}(z) + \text{重}(z)] \quad (3)$$

式(1)aの重 $\text{重}_0(z)$, 重 $\text{重}_1(z)$ と式(2)とを式(3)に代入して未定係数 A_k, B_k を求めれば、孔のないときの応力函数が次式のごとく決定される。

$$\text{重}_0(z) = \frac{q}{16l} \left[-\frac{1}{6} Z^4 - \frac{2l^4}{3} Z^3 + i \left(l^2 - u^2 + \frac{3}{5} C^{*2} \right) Z^2 - \frac{4}{3} C^{*3} Z \right]$$

$$\text{重}_1(z) = \frac{q}{16l} \left[8 C^{*2} \left(-\frac{C^{*2}}{3} + i u \right) Z + i \left(-l^2 + u^2 + \frac{17}{5} C^{*2} \right) Z^2 + i \left(\frac{4}{3} u Z^3 + i \frac{1}{2} Z^4 \right) \right] \quad (4)$$

(3) 付加応力函数の導導 孔縁($r=R$)に通常何らの外力を作用しないまゝゆえ、孔縁における境界

条件式として次式が成立する。

$$\begin{aligned} \text{左}(t) + t\bar{\text{左}}(t) + \bar{\text{右}}(t) &= 0 \\ \text{共役式をとる} \quad \bar{\text{左}}(t) + t\bar{\text{左}}(t) + \bar{\text{右}}(t) &= 0 \\ \therefore t = R e^{i\theta} \end{aligned} \quad \left. \right\} \quad (5)$$

はりとりシケとの結合部においては応力と変位の連續性より次の連続条件式が成立する。

$$\begin{aligned} \text{左}(t) + t\bar{\text{左}}(t) + \bar{\text{右}}(t) &= \text{左}(t) + t\bar{\text{左}}(t) + \bar{\text{右}}(t), \frac{1}{P}[\kappa_p \text{左}(t) - t\bar{\text{左}}(t) - \bar{\text{右}}(t)] = \frac{1}{P}[\kappa_p \bar{\text{左}}(t) - t\bar{\text{左}}(t) - \bar{\text{右}}(t)] \\ \text{共役式をとる} \quad \bar{\text{左}}(t) + t\bar{\text{左}}(t) + \bar{\text{右}}(t) &= \bar{\text{左}}(t) + t\bar{\text{左}}(t) + \bar{\text{右}}(t), \frac{1}{P}[\kappa_p \bar{\text{左}}(t) - t\bar{\text{左}}(t) - \bar{\text{右}}(t)] = \frac{1}{P}[\kappa_p \bar{\text{左}}(t) - t\bar{\text{左}}(t) - \bar{\text{右}}(t)] \end{aligned} \quad \left. \right\} \quad (6)$$

$\therefore t = R e^{i\theta}, P = E/2(1+\nu), \nu = (3-\nu)/(1+\nu)$ (E :ヤング率, ν :ボアン比) サイフクス "P" および "t" はそれなりに, リンケを意味する。

式(5)から式(6)と式(1), (4)を代入して Cauchy 積分を行えば次式がえられる。

$$\begin{aligned} -\sum_{k=1}^{\infty} c_k Z^{-k} - \sum_{k=1}^{\infty} k \bar{C}_k R^{k-1} Z^{-(k+2)} - \sum_{k=1}^{\infty} D_k R^{-k} Z^{-k} &= 0 \\ -\sum_{k=1}^{\infty} \bar{C}_k R^{k-1} Z^{-k} - R^2 \left\{ C_1 Z^{-1} - \sum_{k=1}^{\infty} k c_k Z^{-(k+2)} \right\} - \sum_{k=1}^{\infty} d_k Z^{-k} &= 0 \\ \left[-\sum_{k=1}^{\infty} a_k Z^{-k} \right] - \left[-\sum_{k=1}^{\infty} c_k Z^{-k} - \sum_{k=1}^{\infty} k \bar{C}_k R^{k-1} Z^{-k} - \sum_{k=1}^{\infty} D_k R^{-k} Z^{-k} \right] &= -\frac{g}{12} \left\{ 2(U R^4 + 8C^2(-\frac{C}{3} - iU) R^2) Z^{-1} \right. \\ &\quad \left. - \left\{ \frac{2}{3} i R^6 - i(-L^2 + U^2 + \frac{11}{3} C^2) R^4 \right\} Z^2 + i \frac{4}{3} U R^4 Z^3 + \frac{1}{6} R^6 Z^4 \right\} \\ \left[P_1 \left(-\sum_{k=1}^{\infty} a_k Z^{-k} \right) \right] - \left[P_1 \left(-\sum_{k=1}^{\infty} c_k Z^{-k} \right) \right] - L_1 \left[-\sum_{k=1}^{\infty} k \bar{C}_k R^{k-1} Z^{-k} - \sum_{k=1}^{\infty} D_k R^{-k} Z^{-k} \right] &= -\frac{g}{12} \left\{ \left[\frac{8}{3} C^2 (-\frac{C}{3} - iU) R^2 \right. \right. \\ &\quad \left. + 2i U R^4 Z^1 + i P_1 \left\{ \frac{2}{3} i R^6 - i(-L^2 + U^2 + \frac{11}{3} C^2) R^4 \right\} Z^2 - i \frac{4}{3} U R^4 Z^3 - i \frac{1}{6} R^6 Z^4 \right] \\ \left[R_1 \sum_{k=1}^{\infty} k a_k Z^{-(k+2)} - \sum_{k=1}^{\infty} b_k Z^{-k} \right] - \left[-\sum_{k=1}^{\infty} C_1 R^{k-1} Z^{-k} - P_1 \left(C_1 Z^{-1} - \sum_{k=1}^{\infty} k c_k Z^{-(k+2)} \right) - \sum_{k=1}^{\infty} d_k Z^{-k} \right] &= -\frac{g}{12} \left[\left\{ \frac{8}{3} C^2 R^2 Z^1 \right. \right. \\ &\quad \left. + i(L^2 - U^2 + \frac{3}{2} C^2) R^4 Z^2 - \frac{2iU}{3} P_1 R^6 Z^3 - \frac{i}{6} R^8 Z^4 \right] \\ \left[-L_1 \left(P_1 \sum_{k=1}^{\infty} k a_k Z^{-(k+2)} - \sum_{k=1}^{\infty} b_k Z^{-k} \right) \right] - \left[P_1 \left(-\sum_{k=1}^{\infty} k \bar{C}_k R^{k-1} Z^{-k} \right) \right] - L_1 \left[C_1 Z^{-1} - \sum_{k=1}^{\infty} k c_k Z^{-(k+2)} - \sum_{k=1}^{\infty} d_k Z^{-k} \right] &= -\frac{g}{12} \left[(P_1 - L_1) \frac{4}{3} C^2 R^2 Z^1 + i P_1 (L^2 - U^2 + \frac{3}{2} C^2) R^4 Z^2 - \frac{2iU}{3} P_1 R^6 Z^3 - \frac{i}{6} P_1 R^8 Z^4 \right] \end{aligned} \quad \left. \right\} \quad (8)$$

$$\therefore P = \nu/P, \lambda = 1/\mu$$

式(7)および(8)の両辺において Z の同一べき数の係数を比較すれば、未定係数 $a_1 \sim a_4, b_1 \sim b_4, C_1 \sim C_4, D_1 \sim D_4$ および $d_1 \sim d_4$ に関する連立方程式がえられ、これを解くことにより付加应力函数 $\bar{\text{左}}(t)$, $\bar{\text{右}}(t)$ から $\text{左}(t)$, $\text{右}(t)$ が決定される。したがって、所要の応力函数 $\bar{\text{左}}(t)$, $\bar{\text{右}}(t)$ および $\text{左}(t)$, $\text{右}(t)$ は次式のごとく求まる。

$$\begin{aligned} \text{左}(t) &= \frac{gR^4}{24\pi} \left[A_1 \frac{Z}{R} + i A_2 \frac{Z^2}{R^2} + i A_3 \frac{Z^3}{R^3} + i A_4 \frac{Z^4}{R^4} + (A'_1 + i A''_1) \frac{R^2}{Z^2} + (A'_2 + i A''_2) \frac{R^3}{Z^3} + (A'_3 + i A''_3) \frac{R^4}{Z^4} \right] \\ &\quad - \frac{gR^4}{24\pi} \left[(B'_1 + i B''_1) \frac{Z}{R} + i B'_2 \frac{Z^2}{R^2} + i B'_3 \frac{Z^3}{R^3} + i B'_4 \frac{Z^4}{R^4} + (B'_5 + i B''_5) \frac{R^2}{Z^2} + (B'_6 + i B''_6) \frac{R^3}{Z^3} + (B'_7 + i B''_7) \frac{R^4}{Z^4} \right] \\ \text{右}(t) &= \frac{gR^4}{24\pi} \left[C_1 \frac{Z}{R} + i C_2 \frac{Z^2}{R^2} + i C_3 \frac{Z^3}{R^3} + i C_4 \frac{Z^4}{R^4} + (C'_1 + i C''_1) \frac{R^2}{Z^2} + i C'_2 \frac{R^3}{Z^3} + (C'_3 + i C''_3) \frac{R^4}{Z^4} + (C'_4 + i C''_4) \frac{R^5}{Z^5} + (C'_5 + i C''_5) \frac{R^6}{Z^6} + (C'_6 + i C''_6) \frac{R^7}{Z^7} \right] \\ \text{左}(t) &= \frac{gR^4}{24\pi} \left[(D'_1 + i D''_1) \frac{Z}{R} + (D'_2 + i D''_2) \frac{Z^2}{R^2} + i D'_3 \frac{Z^3}{R^3} + i D'_4 \frac{Z^4}{R^4} + i D'_5 \frac{R^2}{Z^2} + i D'_6 \frac{R^3}{Z^3} + (D'_7 + i D''_7) \frac{R^4}{Z^4} + (D'_8 + i D''_8) \frac{R^5}{Z^5} + (D'_9 + i D''_9) \frac{R^6}{Z^6} \right] \end{aligned} \quad \left. \right\} \quad (9)$$

$\therefore A_1, A_2, A_3, A_4$ などの諸係数は L, U, C^*, P, λ および ν の函数である。

(4) 応力の算定 極座標上における応力成分 $\sigma_r, \tau_{\theta r}$ および $\sigma_{\theta \theta}$ と応力函数 $\bar{\text{左}}(t)$, $\bar{\text{右}}(t)$ の関係は次式の

$$\text{式(10)を代入することにより所要の応力成分が次式のごとく求められる。} \quad \left. \begin{aligned} \hat{\sigma}_r &= \operatorname{Re}[2\bar{\sigma}(z) - e^{i\theta}(\bar{\sigma}''(z) + \bar{\tau}(z))], \quad \hat{\sigma}_\theta = \operatorname{Re}[2\bar{\sigma}(z) + e^{i\theta}(\bar{\sigma}''(z) + \bar{\tau}(z))], \\ \hat{\tau}_{\theta\theta} &= \operatorname{Im}[e^{i\theta}(\bar{\sigma}''(z) + \bar{\tau}(z))] \end{aligned} \right\} \quad (10)$$

$\Rightarrow \hat{\sigma}_r$: $\operatorname{Re}[]$ 内の実数部を, $\operatorname{Im}[]$ 内の虚数部分を意味する。

式(10)を式(9)を代入することにより所要の応力成分が次式のごとく求められる。

$$\begin{aligned} \hat{\sigma}_r &= \frac{9R^3}{4\pi} [2A'_1 + b'_1 l_1^2 - 2(b''_1 l_1^2 + b'''_1 l_1^3) \sin\theta - (B'_1 + A'_1 l_1^2 - 3b'_1 l_1^3) \cos 2\theta + (B''_1 - 4a'_1 l_1^2 + 3b'_1 l_1^3) \sin 2\theta \\ &\quad - (10a'_1 l_1^3 - 4b'_1 l_1^5) \cos 3\theta + (4A''_1 l_1^3 + 2B''_1 l_1^5 - 10a'_1 l_1^3 + 4b'_1 l_1^5) \sin 3\theta + (3B''_1 l_1^3 - 18a'_1 l_1^4 \\ &\quad + 5b'_1 l_1^6) \sin 4\theta + (4B''_1 l_1^3 - 28a'_1 l_1^5 + 6b'_1 l_1^8) \sin 5\theta] \end{aligned}$$

$$\begin{aligned} \hat{\sigma}_\theta &= \frac{9R^3}{4\pi} [2A'_1 - b'_1 l_1^2 - (6A''_1 l_1^2 + 2b''_1 l_1^3) \sin\theta + (B'_1 - 3b'_1 l_1^3) \cos 2\theta - (12A''_1 l_1^2 + B''_1 + 3b''_1 l_1^3) \sin 2\theta \\ &\quad + (2a'_1 l_1^3 + b'_1 l_1^5) \cos 3\theta - (20A''_1 l_1^3 + 2B''_1 l_1^5 - 2a'_1 l_1^3 + 6b'_1 l_1^5) \sin 3\theta - (3B''_1 l_1^2 - 6a''_1 l_1^4 \\ &\quad + 5b''_1 l_1^6) \sin 4\theta + (12a'_1 l_1^5 - 4B''_1 l_1^3 - 6b''_1 l_1^8) \sin 5\theta] \end{aligned}$$

$$\begin{aligned} \hat{\tau}_{\theta\theta} &= \frac{9R^3}{4\pi} [2A''_1 l_1^3 - 2b''_1 l_1^5] \cos\theta + (B'_1 - 2a'_1 l_1^5 + 3b'_1 l_1^8) \sin 2\theta + (B''_1 + 6A''_1 l_1^2 + 2a''_1 l_1^5 - 3b''_1 l_1^8) \cos 2\theta \\ &\quad - (6a''_1 l_1^3 - 4b''_1 l_1^5) \sin 3\theta + (12A''_1 l_1^3 + 2B''_1 l_1^5 + 6a''_1 l_1^3 - 4b''_1 l_1^5) \cos 3\theta + (3B''_1 l_1^2 + 12a''_1 l_1^4 \\ &\quad - 5b''_1 l_1^6) \cos 4\theta + (4B''_1 l_1^3 - 20a''_1 l_1^5 - 6b''_1 l_1^8) \cos 5\theta] \end{aligned}$$

$$\begin{aligned} \text{式(11)による} \quad \hat{\sigma}_r &= \frac{9R^3}{4\pi} [2C'_1 + d'_1 l_1^2 - (C''_1 l_1^2 - 2d''_1 l_1^3) \sin\theta - (D'_1 + 4C'_1 l_1^2 - 3d'_1 l_1^5) \cos 2\theta + (D''_1 - 4C''_1 l_1^2 + 3d''_1 l_1^5) \sin 2\theta \\ &\quad - (4C''_1 l_1^3 + 2D''_1 l_1^5 + 10C'_1 l_1^2 - 4d'_1 l_1^5) \cos 3\theta + (4C''_1 l_1^3 + 2D''_1 l_1^5 - 10C'_1 l_1^3 + 4d''_1 l_1^5) \sin 3\theta \\ &\quad + (10C''_1 l_1^4 + 3D''_1 l_1^2 - 18C'_1 l_1^2 + 5d''_1 l_1^5) \sin 4\theta + (10C''_1 l_1^4 + 4D''_1 l_1^2 - 28C'_1 l_1^2 + 6b''_1 l_1^5) \sin 5\theta] \end{aligned}$$

$$\begin{aligned} \hat{\sigma}_\theta &= \frac{9R^3}{4\pi} [2C'_1 - d'_1 l_1^2 - (6C''_1 l_1^2 + 2d''_1 l_1^3) \sin\theta + (12C'_1 l_1^2 + D'_1 - 3d'_1 l_1^5) \cos 2\theta - (12C'_1 l_1^2 + D''_1 - 3d''_1 l_1^5) \sin 2\theta \\ &\quad + (20C''_1 l_1^3 + 2D''_1 l_1^5 + 2C'_1 l_1^2 - 4d'_1 l_1^5) \cos 3\theta - (20C''_1 l_1^3 + 2D''_1 l_1^5 - 2C'_1 l_1^3 + 4d''_1 l_1^5) \sin 3\theta \\ &\quad - (30d''_1 l_1^4 + 3D''_1 l_1^2 - 6C'_1 l_1^2 + 5d''_1 l_1^5) \sin 4\theta - (42C''_1 l_1^4 + 4D''_1 l_1^2 - 12C'_1 l_1^2 + 6d''_1 l_1^5) \sin 5\theta] \end{aligned}$$

$$\begin{aligned} \hat{\tau}_{\theta\theta} &= \frac{9R^3}{4\pi} [(2C''_1 l_1^2 - 2d''_1 l_1^3) \cos\theta + (6C''_1 l_1^2 + D'_1 - 2C'_1 l_1^2 + 3d'_1 l_1^5) \sin 2\theta + (6C''_1 l_1^2 + D'_1 + 2C'_1 l_1^2 \\ &\quad - 3d''_1 l_1^4) \cos 2\theta + (12C''_1 l_1^3 + 2D''_1 l_1^5 - 6C'_1 l_1^2 + 4d''_1 l_1^5) \sin 3\theta + (12C''_1 l_1^3 + 2D''_1 l_1^5 + 6C'_1 l_1^2 \\ &\quad - 4d''_1 l_1^5) \cos 3\theta + (20C''_1 l_1^4 + 3D''_1 l_1^2 + 12C'_1 l_1^2 - 5d'_1 l_1^6) \cos 4\theta + (30C''_1 l_1^4 + 4D''_1 l_1^2 \\ &\quad + 20C'_1 l_1^2 - 6d''_1 l_1^5) \cos 5\theta] \end{aligned}$$

$$\therefore \hat{\sigma}_r = \frac{1}{R} \hat{\sigma}_r$$

B. 中央集中荷重を受ける単純ばかり, C. 自由端ト集中荷重を受ける片持ばかりある。D. 等分布満載の片持ばかりについても同一手順で解ければよく、結果は割愛する。

3. 対例および考察 A. 等分布荷重を満載する単純ばかり はりのリンクと結合部における応力のうち最も値の大きな値を第1象限、第2象限に沿うヤング率の比 E_1/E_2 を変数として図-2～図-4 に示す。

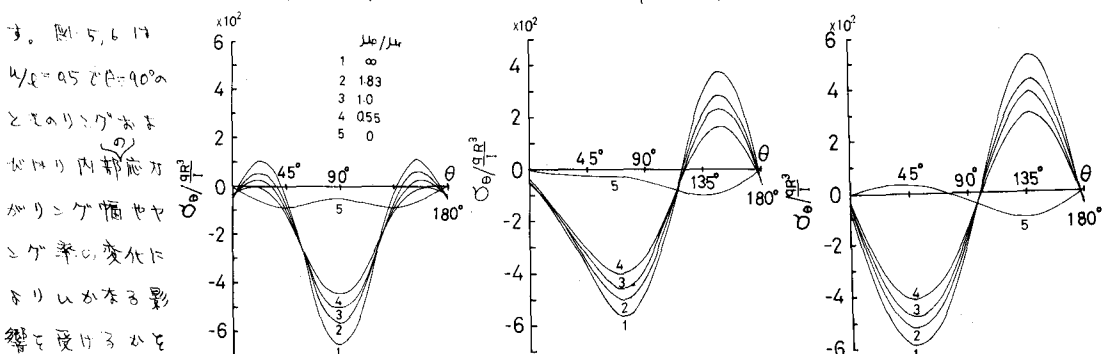


図-2 $u/l=0, E_1/E_2=1.10$

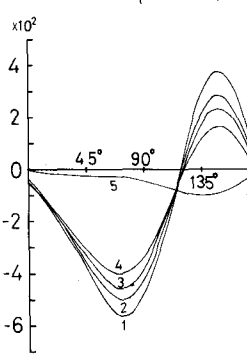


図-3 $u/l=0.5, E_1/E_2=1.10$

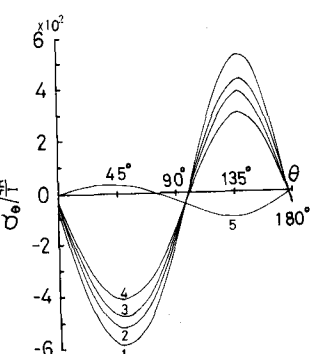


図-4 $u/l=0.8, E_1/E_2=1.10$

今おスパンや断面に関する
は $R/l_a = 0.4$, $l/a = 10$, $\frac{b^2 c}{T_{0R}} = 0.64$ を用い, $\mu_p = \mu_r = 0.3$ と
した。

図-2～図-4を参考して、
孔の結合部における応力分布

は μ_p の値をもとに孔の位置

より大きな差異を生じるが、

最大応力は孔の位置の如何を

問わず計算により μ_p/μ_r

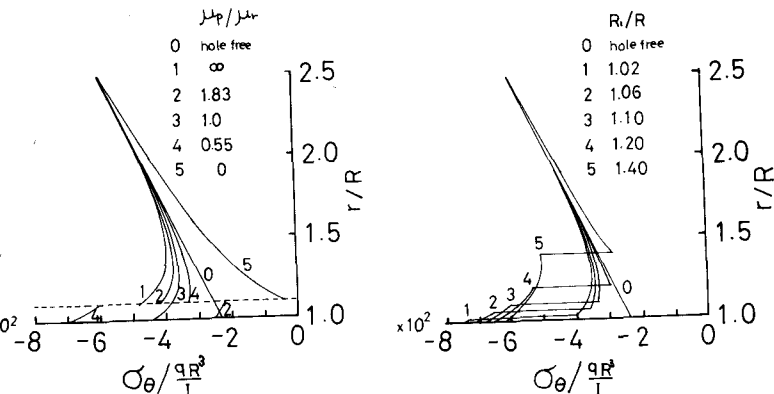


図-5 $R/l_a = 1.10$, $\theta = 90^\circ$

図-6

の範囲で常に約4～6の応力比である。また、 μ_p/μ_r の減少と共に最大応力は低下する。したがって、孔の位置を孔縁を補強することにより最大応力を減らしることができ、許容応力以下に抑えることが可能となる。

図-5 および 図-6 より $\theta = 90^\circ$ 断面の応力は、 μ_p/μ_r をもとにヤング率の比を減じ、 R/l_a をもとにリンク幅を増加させることによって減少することができる。また、 $\mu_p/\mu_r = 0$ および $R/l_a = 1.40$ の場合の応力はいずれも無孔ばかりの応力よりも小さい。

以上を考慮して有孔ばかりにおいて応力集中を避けるには、リンクのヤング率をより大きくするか幅をより大きくなることにより解決でき、かつリンクのヤング率と幅の適当な組合せにより、有孔ばかりの応力を無孔ばかりのとより低いものとすることも可能である。

B. 中央集中荷重を受ける単純ばかり、C. 自由端上集中荷重を受ける持ばかりおよびD. 等分布満載の持ばかりについても同一傾向を考察したが、ここでは孔の結合部における応力分布例を図-7～図-9を示すとされる。

4. 結語 本論文は補強用孔を有する工型ばかりの弹性応力と複素変数法により求め、いかなる補強を行えば応力集中を避けられるかについて論じたものであり、補強リンクの幅およびヤング率と応力との関係を定量化し、応力集中量を正確に求めたものである。今次の課題として

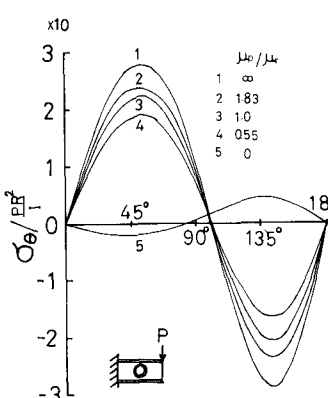


図-7

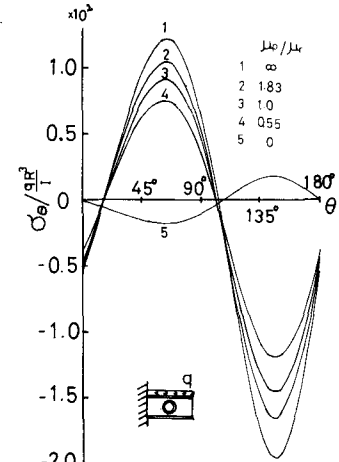


図-8

シケ厚の拘束されたに任意形補強孔をもつ孔の解析が考えられるが、これについては後日発表の予定である。最後に数値計算は本学電子計算機 ACOM 230-66 によることを付記する。